

L'eventuale presenza di forze aggiuntive (carichi sisurici, carichi statici applicati sul perito, spinta dell'acqua nelle fessure di trazione) deve essere messa in conto.

Ad esempio, nel caso di sviluppo di una fessura di trazione, la lunghezza dell'area su cui è operativa la resistenza si riduce, passando da s ad s' ; un effetto più pronato ai fini della stabilità è connesso al possibile riempimento d'acqua nella fessura medesima. In questo caso una forza idrostatica P_w agirebbe normalmente alla fessura, uccidendo

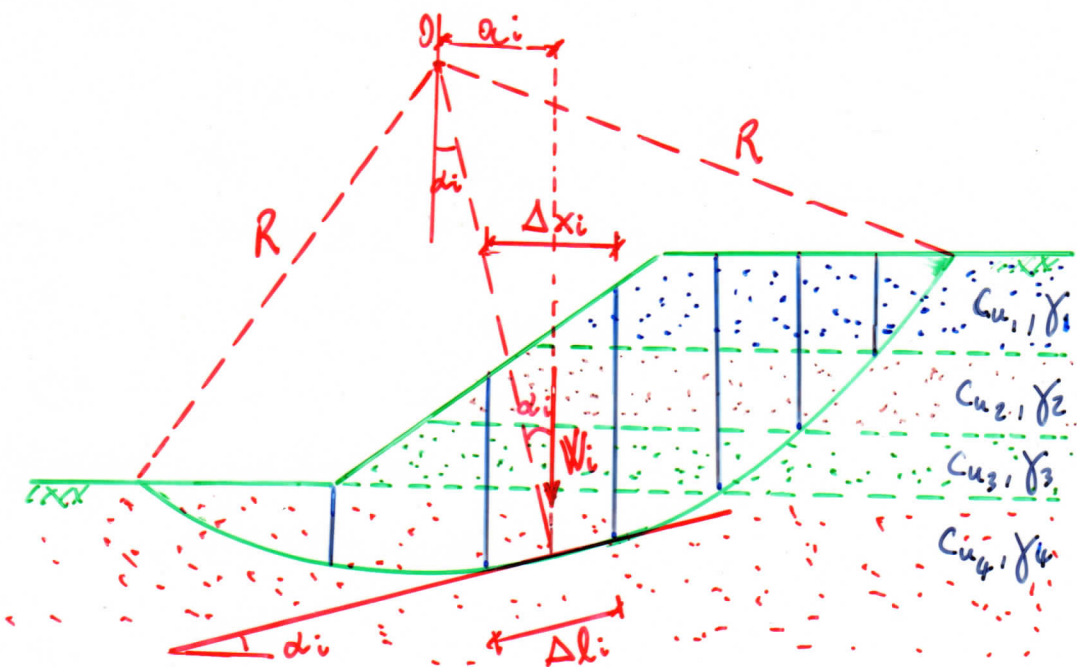
$$W \cdot a + P_w \cdot z = T_m \cdot s' \cdot R$$

da

$$F = \frac{C_u \cdot s' \cdot R}{W \cdot a + P_w \cdot z}$$

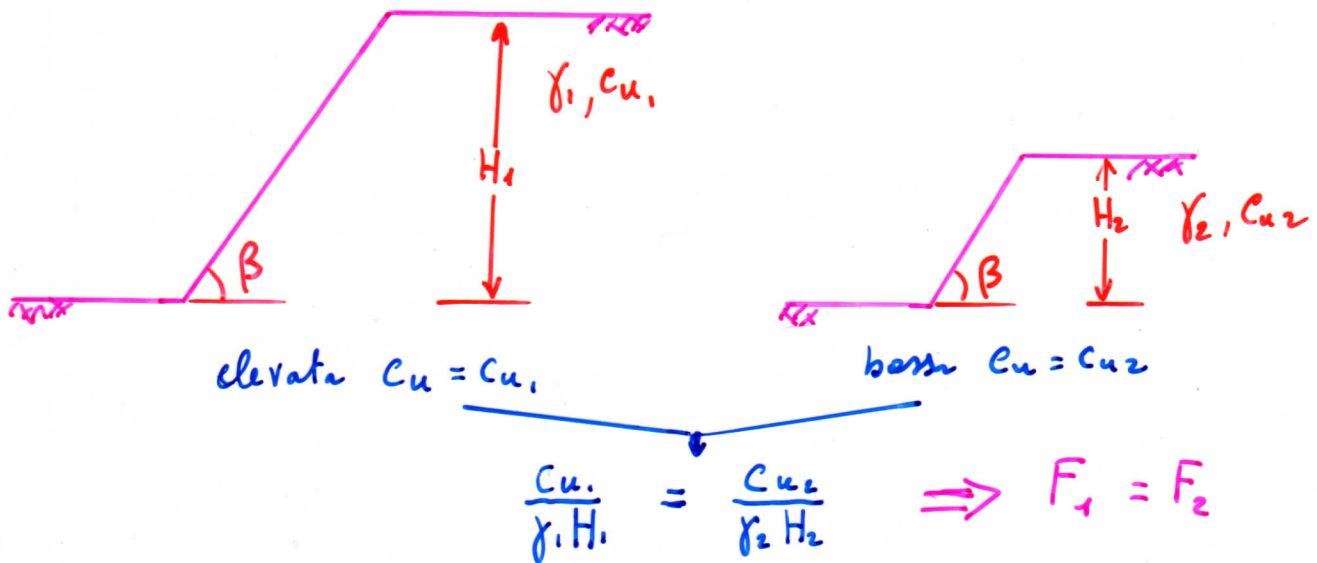
Analisi $\dot{F}_u = 0$ per pendio un omogeneo.

Se il pendio non è omogeneo, si può usare la tecniche della suddivisione in trapezi.



$$F = \frac{R \sum c_{ui} \cdot \Delta l_i}{\sum w_i \cdot a_i} = \frac{\sum c_{ui} \cdot \Delta l_i}{\sum w_i \cdot \sin a_i} = \frac{\sum c_{ui} \cdot \Delta x_i \cdot \tan a_i}{\sum w_i \cdot \sin a_i}$$

Base degli abachi di stabilità



Pendii di data geometria (β) ma con differenti c_u , γ , H hanno lo stesso fattore di sicurezza F se i relativi rapporti $c_u/\gamma H$ hanno lo stesso valore

N = numero di stabilità (adimensionale); $1/N$ = coefficiente di instabilità

$$N = \frac{c_u}{F \cdot \gamma \cdot H} = \frac{c_{um}}{\gamma \cdot H}$$

F = fattore di sicurezza minimo, cioè lungo la sup. di scorrimento critica

H = altezza del pendio

γ = peso dell'unità di volume del terreno

c_u = resistenza al taglio non sfondante del terreno

L'approssimazione sui coefficienti di stabilità viene applicata anche al caso generale di terreno c', ϕ' con varie condizioni fisicometriche.

GLI ABACCHI DI STABILITÀ CONSENTONO - L'ADDOVE APPLICABILI -

DI RICAVARE IMMEDIATAMENTE F_{MINIMO} .

ABACCHI SONO PURE DISPONIBILI PER LOCALIZZARE LA POSIZIONE DELLA SUPERFICIE CRITICA DI SCORRIMENTO, COGLIENDO LA SUA GEOMETRIA

Analisi della stabilità attraverso abachi

In generali, un problema reale di fondo va analizzato - a volte di un attento studio delle condizioni geologiche, litostruzzuali, idrogeologiche e geotecniche - attraverso una soluzione computerizzata.

Di contro, le soluzioni per abaci, e regole applicabili ad ogni situazione reale e conducenti a schemi semplici o semplificati, hanno il vantaggio nella immediatezza e nella praticità. Esse non vanno, perciò, considerate sostitutive delle più complesse analisi numeriche al calcolatore, ma rapidi mezzi manuali di analisi preliminare (in alcuni casi anche definitiva), purché nono presenti le condizioni delle loro applicabilità. In questo caso le loro possibilità applicative consentono di:

- i) analizzare preliminarymente la stabilità di un pendio;
- ii) studiare la sensibilità del fattore di sicurezza a varie combinazioni di caratteri geometrici, parametri di resistenza del terreno e regime delle pressioni neutre e quindi poter scegliere immediatamente tra varie soluzioni alternative di progetto;
- iii) controllare la "opportunità" di una soluzione al computer; e
- iv) analizzare e ritrarso una cultura di fondo.

ESEMPIO n. 2

Una scarpata a 45° viene scavata sino alla profondità di 8 m in un profondo banco di argilla satura, per la quale :
 $\gamma = 19 \text{ kN/m}^3$, $c_u = 65 \text{ kN/m}^2$ ($\phi_u = 0$).

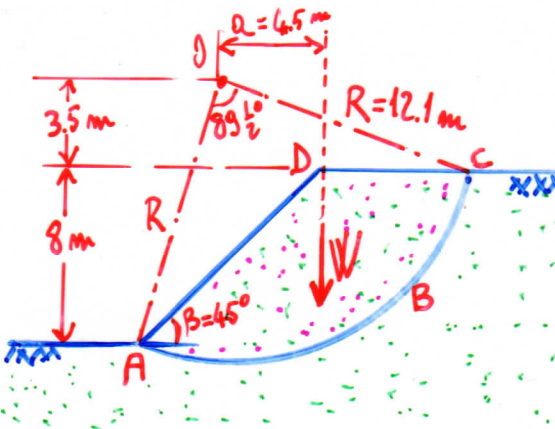
Determinare F per la superficie potenziale di rottura indicato nello schizzo.

$$\beta = 45^\circ, c_u = 65 \text{ kN/m}^2$$

$$Q = 4.5 \text{ m}$$

$$\omega = 89\frac{1}{2}^\circ = 1.56 \text{ rad}$$

$$R = 12.1 \text{ m}$$



$$\text{Area della sezione trasversale } ABCD = 70 \text{ m}^2$$

$$\text{Peso } W, \text{ per unità di spessore, della massa di argilla } ABCD = 70 \times 19 = 1330 \text{ kN/m}$$

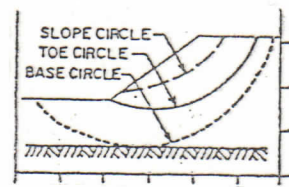
$$\text{Lunghezza dell'area } ABe = R \cdot \omega = 18.9 \text{ m}$$

$$F = \frac{c_u \cdot \beta \cdot R}{W \cdot a} = \frac{65 \times 18.9 \times 12.1}{1330 \times 4.5} = 2.48$$

E' necessario ripetere la procedura con altre superfici potenziali di scorrimento sino a trovare $F = F_{\min}$.

ABACO DI FELLENIUS-TAYLOR (con le estensioni di JANBU)

Stability charts for $\phi_u = 0$ analysis in homogeneous clay

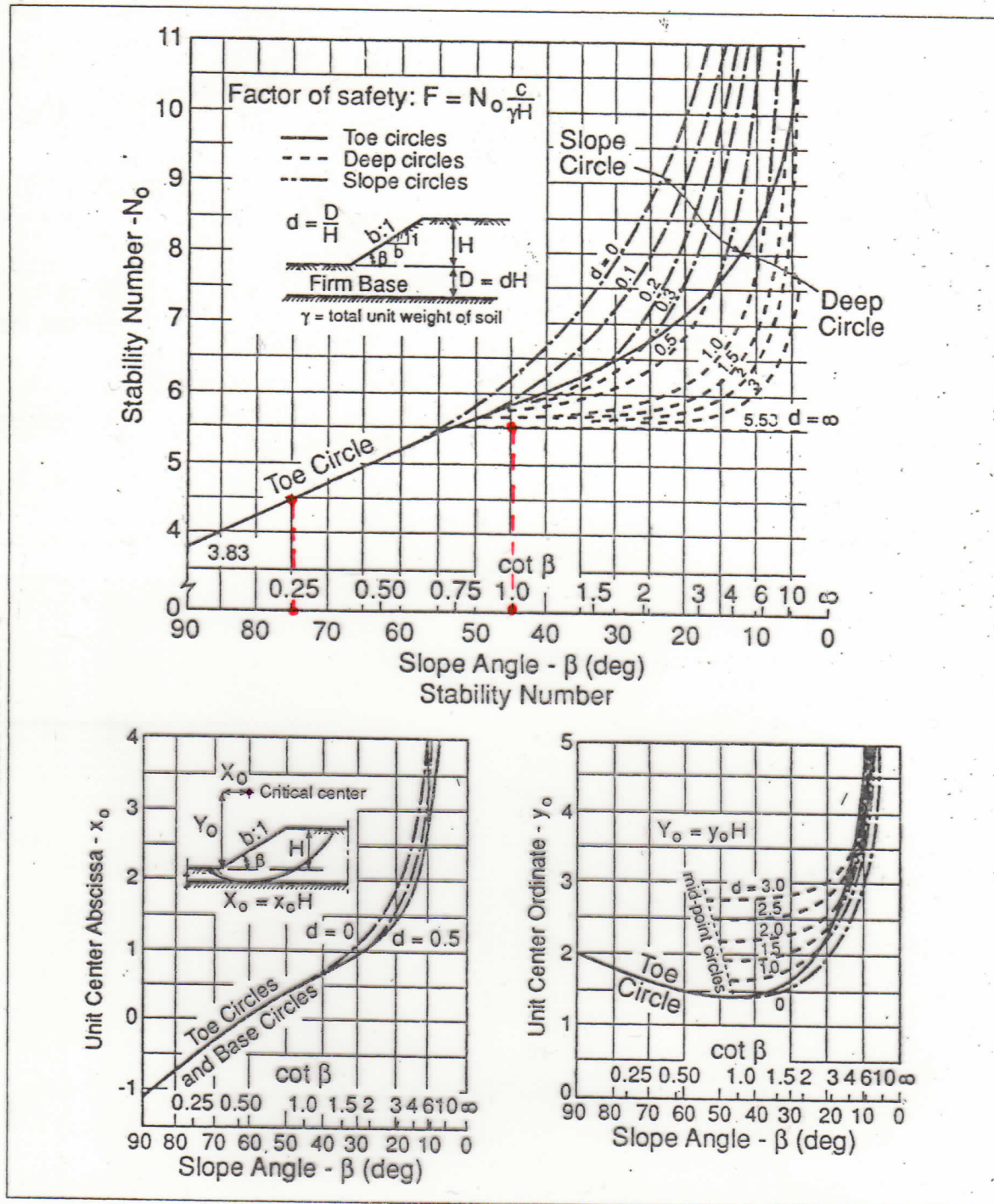


The coordinates of the center of the critical circle are given by

$$X_0 = x_0 H \quad (13.8)$$

$$Y_0 = y_0 H \quad (13.9)$$

X_0, Y_0 = coordinates of critical circle center measured from toe of slope,
 x_0, y_0 = dimensionless numbers determined from charts at bottom of Figure 13-3, and
 H = height of slope.



ESEMPIO n. 2 bis

Si è già visto che il fattore di sicurezza relativo alla superficie potenziale di scorrimento ABC è pari a 2.48.

Come già messo in evidenza, è necessario ripetere la procedura con altre superfici potenziali di scorrimento alla ricerca di quella critica (caso di Fellenius).

Si risolva ora il medesimo problema utilizzando l'abaco di Fellenius-Taylor (Fig. 1).

E' implicito trattarsi di terreno omogeneo (condizione richiesta per l'applicabilità dell'abaco); insoltre, trattandosi di "un profondo buco...", si può assumere $d = \infty$ (Vide Fig. 1 se il significato di d).

Essendo $\beta = 45^\circ$, $d = \infty$, la Fig. 1 fornisce

$$N_o = 5.53 = \frac{F \gamma H}{c_u} \Rightarrow F \equiv F_{MINIMO} = \frac{N_o \cdot c_u}{\gamma H}$$

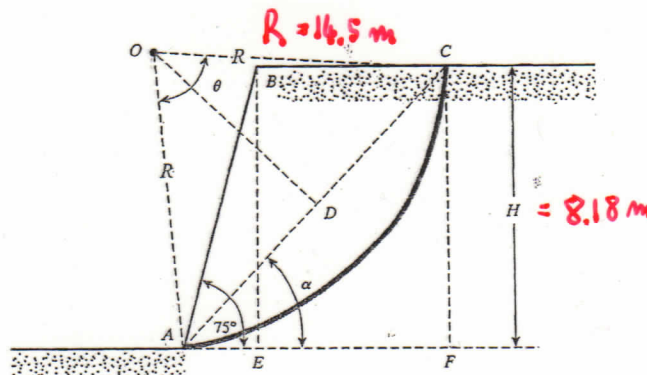
ovvero, poiché $\gamma = 13 \text{ kN/m}^3$, $H = 8 \text{ m}$ e $c_u = 65 \text{ kN/m}^2$,

$$F = F_{min} = 2.37$$

ed il cerchio critico è un cerchio di base (deep circle)

(da Nova, 2009)

Esercizio 3: Determinare il valore del coefficiente di sicurezza del versante in terreno puramente coesivo rappresentato in figura. Quest'ultimo è caratterizzato da un valore di coesione non drenata pari a $s_u = 31 \text{ kPa}$, $\gamma_{sat} = 17.3 \text{ kN/m}^3$. Il versante è alto 8.18 m ed è inclinato rispetto all'orizzontale di un angolo $\beta = 75^\circ$, mentre la linea di rottura presa in considerazione ha un raggio di 14.05 m e un angolo $\theta = 51.8^\circ$. Trascurare la possibile formazione di tension cracks in superficie.



($s_u \equiv c_u$)

Soluzione:

Il valore del coefficiente di sicurezza si determina facilmente scrivendo l'equazione di equilibrio attorno al centro di istantanea rotazione (3.37) ed imponendo che a rottura gli sforzi di taglio siano uguali alla resistenza a taglio, ottenendo che

$$F_s = \frac{s_u R l}{W a},$$

dove R , raggio del cerchio che fornisce la linea di rottura, è pari a 14.05 m, a , braccio del peso rispetto al punto O, è pari a 5.6 m. La lunghezza della linea di rottura l si ottiene come

$$\widehat{AC} = l = 2\pi R \frac{\theta}{360^\circ} = 12.7 \text{ m},$$

mentre il peso del cuneo ABC come la somma dell'area del triangolo ACB e dell'area del segmento circolare AC .

$\beta = 75^\circ$

L'area del segmento circolare AC è pari a

$$A_{AC} = \frac{\pi R^2}{360^\circ} \theta - \frac{R^2}{2} \sin \theta = 11.67 \text{ m}^2.$$

Considerando il triangolo ABE si può calcolare la lunghezza del segmento AB

$$AB = \frac{H}{\sin \beta} = 8.468 \text{ m},$$

mentre dal triangolo ADO si ottiene che $AC = 2AD = R \sin \frac{\theta}{2} = 12.26 \text{ m}$.

Applicando il teorema dei seni al triangolo ACB si possono scrivere le seguenti relazioni:

$$\frac{AB}{\sin \alpha} = \frac{AC}{\sin(180^\circ - \beta)} \Rightarrow \sin \alpha = \frac{AB}{AC} \sin(180^\circ - \beta) \Rightarrow \alpha = 41.8^\circ.$$

$$\frac{AC}{\sin(180^\circ - \beta)} = \frac{BC}{\sin(\beta - \alpha)} \Rightarrow BC = \frac{AC}{\sin(180^\circ - \beta)} \sin(\beta - \alpha) \Rightarrow BC = 6.95 \text{ m}.$$

Noti i tre lati del triangolo ACB per calcolare l'area si applica la formula di Erone:

$$A_{ACB} = \sqrt{p(p - AC)(p - BC)(p - AB)} = 28.435 \text{ m}^2$$

$$\text{con } p = \frac{AC + BC + AB}{2} = 13.839 \text{ m}.$$

Perciò il peso W è pari a

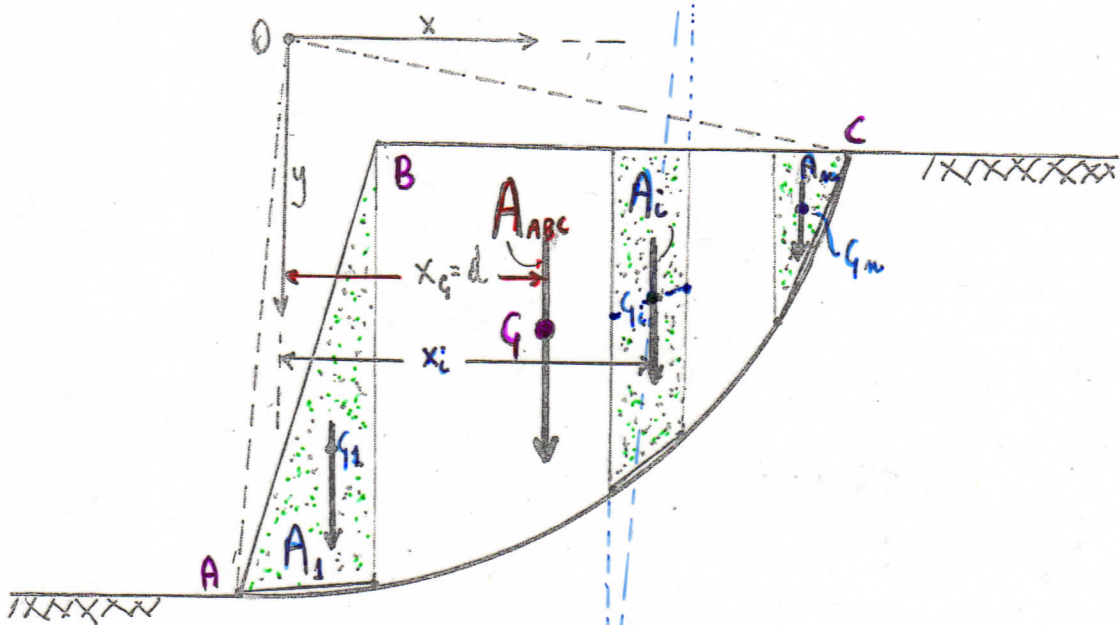
$$W = \gamma_{sat} (A_{ACB} + A_{AC}) = 693.8 \text{ kN/m}$$

ed il fattore di sicurezza

$$F_s = \frac{s_u R l}{W a} = \frac{31 \text{ kPa} \cdot 14.05 \text{ m} \cdot 12.7 \text{ m}}{693.8 \text{ kN/m} \cdot 5.6 \text{ m}} = 1.4.$$

INDIVIDUAZIONE DEL BARICENTRO DEL CUNGO ABC

Essendo la forza peso applicata nel baricentro del cunfo ABC, per determinarne il braccio rispetto al punto O è necessario che sia nota la posizione del baricentro medesimo.



Ricordando l'argomento "momenti statici" ed osservando che in questo caso particolare i sufficienze sia nota una sola coordinata del baricentro (ovvero: la sua ascissa x_g , che coincide col braccio rispetto ad O), si ha:

$$A_{ABC} \cdot x_g = \sum_{i=1}^n A_i \cdot x_i$$

$$x_g = \frac{\sum_{i=1}^n A_i \cdot x_i}{A_{ABC}}$$

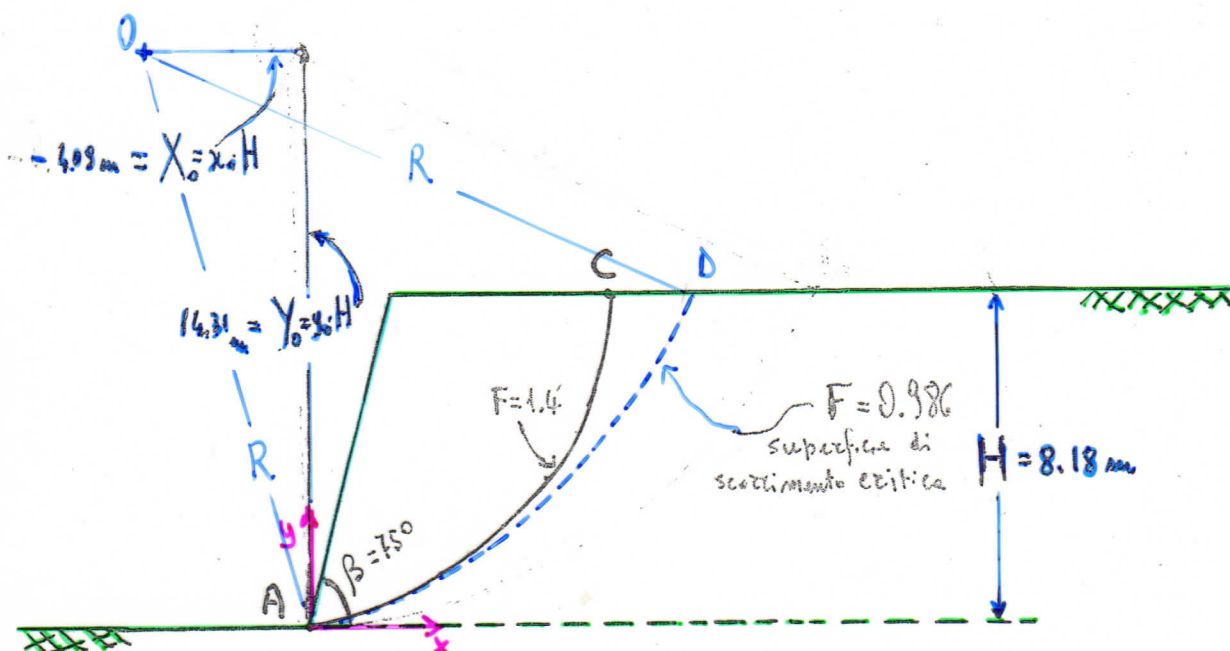
A_{ABC} essendo l'area del cunfo ABC ed A_i l'area parziale i-a-ma,

ovvero: $A_{ABC} = \sum_{i=1}^n A_i$

Si è già visto che il fattore di sicurezza F relativo alla superficie di scorrimento potenziale \widehat{AC} è pari a 1.4.

E' ora necessario ripetere la procedura con altre superfici alla ricerca di quella critica, ovvero di quella per cui $F = F_{MINIMO}$.

Poiché si tratta di pendio regolare in terreno omogeneo (ed isotropo), si può utilizzare l'abaco di Falenius-Taylor.



Essendo $\beta = 75^\circ$, l'abaco fornisce $N_o = 4.5$ e ci dice trattarsi di cerchio di piede (toe circle). Ricordando che: $H = 8.18 \text{ m}$, $c_u = 31 \text{ kPa}$, $\gamma = 17.3 \text{ kN/m}^3$,

$$F = F_{MIN} = N_o \frac{c_u}{\gamma H} = 4.5 \frac{31}{17.3 \times 8.18} = 0.986 \approx 1$$

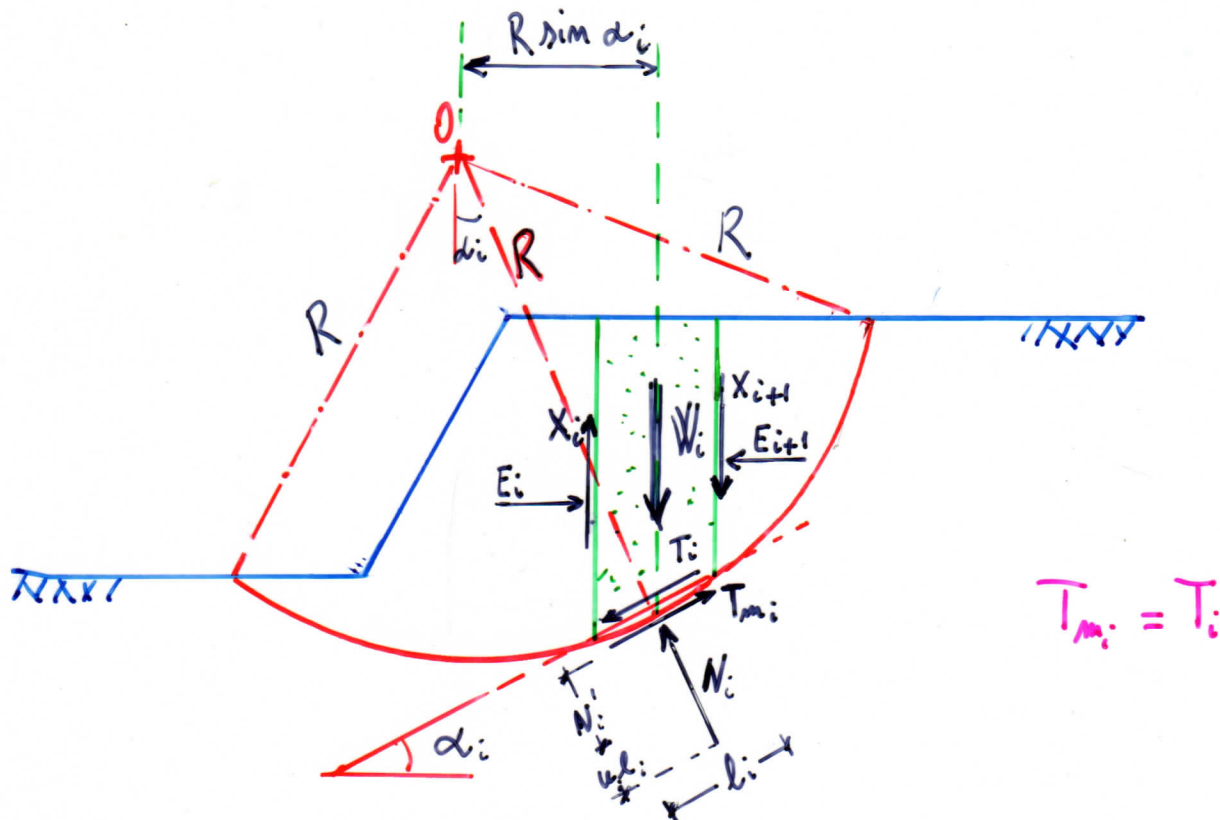
L'abaco consente pure di localizzare il cerchio critico. A tal fine, si leggono sull'abaco le coordinate unitarie x_0 e y_0 in funzione dell'angolo di pendio β .

$$\text{Essendo } \beta = 75^\circ \Rightarrow x_0 = -0.05, y_0 = 1.75$$

Le coordinate del centro di rotazione sono:

$$X_0 = x_0 H = -0.05 \times 8.18 = -0.409 \text{ m}$$

$$Y_0 = y_0 H = 1.75 \times 8.18 = 14.31 \text{ m}$$



$$T_{m_i} = T_i$$

- Somma dei momenti delle resistenze mobilitate T_{m_i} :

$$T_{m_1} \cdot R + T_{m_2} \cdot R + \dots + T_{m_n} \cdot R = \sum_{i=1}^n T_{m_i} \cdot R = \sum_{i=1}^n M_{z_i}$$

- Somma dei momenti del peso delle masse di terreno:

$$W_1 R \sin \alpha_1 + W_2 R \sin \alpha_2 + \dots + W_n R \sin \alpha_n = \sum_{i=1}^n W_i \cdot R \cdot \sin \alpha_i = \sum_{i=1}^n M_{a_i}$$

(Notare che le forze agenti all'interfaccia dei conci sono forze interne ed il loro momento netto è zero).

$$\sum M_z = \sum M_a \text{ ovvero, } \sum T_{m_i} \cdot R = \sum W_i \cdot R \sin \alpha_i$$

$$\text{ma } T_{m_i} = T_{f_i} \cdot l_i = \frac{T_f}{F} \cdot F \cdot l_i$$

$$\therefore \sum \frac{T_{f_i}}{F} \cdot F \cdot l_i = \sum W_i \sin \alpha_i \Rightarrow F = \frac{\sum T_{f_i} \cdot l_i}{\sum W_i \sin \alpha_i}$$

- Ameliora le condizioni non durevoli ed in termini di sforzi attivi ($\bar{\tau}_f = c_u$, $\phi_u = 0$)
- Si riottiene l'equazione

$$F = \frac{\sum c_{ui} \cdot l_i}{\sum W_i \cdot \sin \alpha_i}$$

- Ameliora i sforzi effettivi ($\bar{\tau}_f = c' + (\sigma - u) \tan \phi'$) :

$$F = \frac{\sum [c_i + (\sigma_i - u_i) \tan \phi'_i] l_i}{\sum W_i \cdot \sin \alpha_i} = \frac{\sum [c'_i l_i + (N'_i - u'_i l_i) \tan \phi'_i]}{\sum W_i \cdot \sin \alpha_i}$$

LA DETERMINAZIONE DI N_i RICHIEDE ALCUNE ASSUNZIONI.

SOLUZIONE DI FELLENIUS

Semplice, ma non molto accurata per superfici di ricoprimento a detine circolare, essa costituisce il METODO CONVENZIONALE (Krey, 1926), riproposto da Skempton & Hutchinson (1963) e nota anche come: Metodo di Fellenius, metodo ordinario, metodo Wede, metodo comune dei terreni, metodo dell'USB/R.

Venne fatta l'assunzione

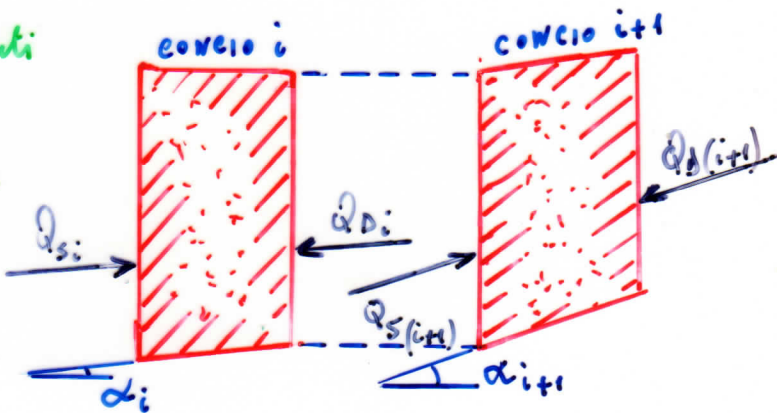
$$E_i - E_{i+1} = X_i - X_{i+1} = 0$$

(Vedi pag. 42 bis)

Più precisamente, che le forze risultanti sulle facce verticali del concio siano uguali, opposte e parallele alla base del concio stesso.

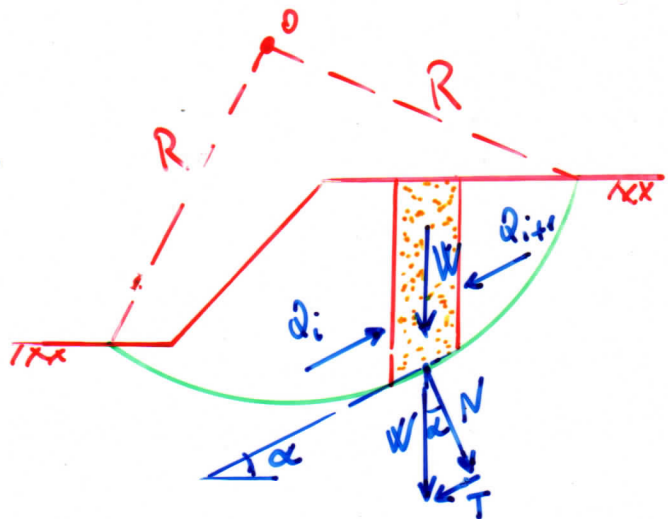
Ciò implica, in entrando col primo concio di entrambi i conci, che:

$$Q_{D_i} \neq Q_{S(i+1)}$$



Pertanto, dal triangolo delle forze,
per ogni cuneo:

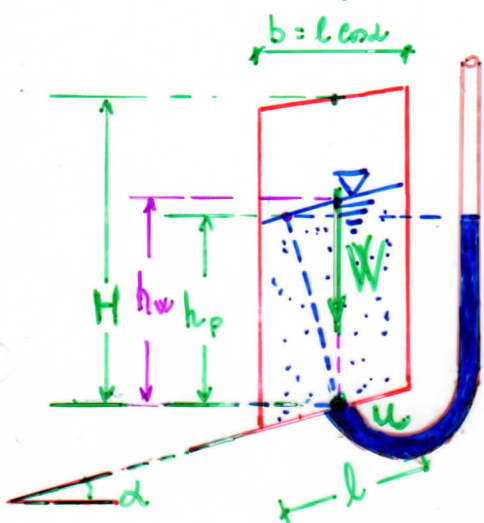
$$N = W \cos \alpha, T = W \sin \alpha$$



$$N - u l = N' = W \cos \alpha - u l$$

$$F = \frac{1}{\sum W \sin \alpha} \cdot \sum [c l + (W \cos \alpha - u l) \tan \phi]$$

Le condizioni idrauliche lungo la superficie di potere sono scritte
possono essere espresse in termini di un ang. chi di u . Essendo:



$$u = h_p \cdot g_w, z_u = \frac{u}{g H}$$

$$W = g H b = g H l \cos \alpha \Rightarrow g H = \frac{W}{l \cos \alpha}$$

$$\Rightarrow z_u = \frac{u}{W/l \cos \alpha} \Rightarrow z_u W = u l \cos \alpha$$

$$\Rightarrow u l = z_u W \sec \alpha$$

∴

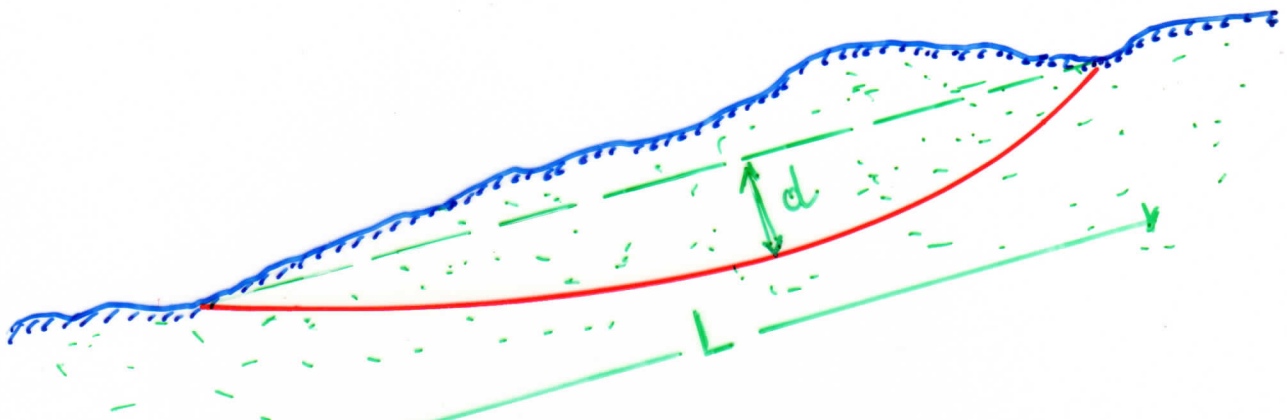
$$F = \frac{1}{\sum W \sin \alpha} \cdot \sum W (\cos \alpha - z_u \sec \alpha) \tan \phi'$$

Il vantaggio di questa sostituzione ($r_u \rightarrow u$) risiede nella sostanziale assenza picchi degli r_u relativi ai singoli elementi rispetto ai corrispondenti valori delle pressioni neutre u . Ciò si traduce nella possibilità di usare un semplice valore medio (estremo) di r_u .

Una serie di superfici potenziali che vengono fatte essere orizzontali fino a permettere a $F = F_{\text{MINIMO}}$.

LA SOLUZIONE SOTTOVALUTA IL FATTORE DI SICUREZZA ED E' PERTANTO CONSERVATIVA. L'"ERRORE" E' PRONUNCIATO PER SUPERFICI DI SCORRIMENTO PROFONDE E CON ALTI VALORI DI PRESSIONE NEUTRA.

IL METODO ~~POSSIBILE~~ APPPLICARSI TROVA MIGLIORE APPLICABILITÀ PER SUPERFICI DI SCORRIMENTO NON CIRCOLARI E POCO PROFONDE. DI SOLITO LA SUA APPLICAZIONE DA' OTTIMI RISULTATI SE $d/L < 0.15 \div 0.20$ (Skempton & Hutchinson, 1963).



Se $c=0$, l'espressione del fattore di sicurezza diventa:

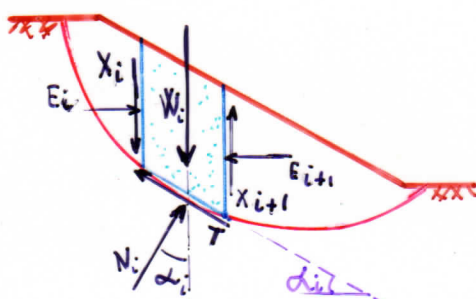
$$F = \frac{\sum W(c_{\text{med}} - r_u \text{ sec} \alpha) \tan \phi'}{\sum W_{\text{med}}}$$

In back-analysis ($F=1$) in questo caso si ottiene: $\tan \phi' = \frac{\sum W_{\text{med}}}{\sum W(c_{\text{med}} - r_u \text{ med})}$

ATTENZIONE:

In back-analysis il metodo è conservativo.

METODO CONVENTIONALE APPLICATO A SUPERFICI NON CIRCOLARI



$$F = \frac{\sum [c_i l_i + (N_i \sin \alpha_i) \tan \phi_i]}{\sum W_i \sin \alpha_i}$$

Dalle equazioni del piano alla traslazione nella direzione \perp e quella della sua base:

$$N_i = W_i \cos \alpha_i + [(X_i - X_{i+1}) \cos \alpha_i - (E_i - E_{i+1}) \sin \alpha_i]$$

$$F = \frac{\sum [c_i l_i + (W_i \cos \alpha_i - N_i) \tan \phi_i] + \sum [(X_i - X_{i+1}) \cos \alpha_i - (E_i - E_{i+1}) \sin \alpha_i] \tan \phi_i}{\sum W_i \sin \alpha_i}$$

ASSORTEZIONE NEL METODO CONVENTIONALE: $\rightarrow \downarrow = 0$

Le forze E ed X sono forze interne. Perciò:

- a) Se non vi sono forze esterne sulla sezione, $\sum (X_i - X_{i+1}) = 0$ e $\sum (E_i - E_{i+1}) = 0$
- b) Se $\alpha = \text{cost}$ (cioè sulle superfici ricoperte i piani), $\sum (E_i - E_{i+1}) \sin \alpha = 0$, etc...
- c) Se anche $\phi = \text{cost}$ (cioè terreno omogeneo ed isotropo), $\sum (E_i - E_{i+1}) \sin \alpha \tan \phi = 0$, etc....

SICCHE: In modo esatto per le condizioni a)+b)+c) ed in modo approssimato per superfici poco profonde e non circolari con $\phi = \text{cost}$ ed in assenza di carichi esterni,

$$N_i = W_i \cos \alpha_i$$

L'accuratezza del metodo diminuisce al crescere del valore del rapporto d/l (vedi libelli).

Method

This can very conveniently be used for non-circular surfaces, and since the d/L ratio for such landslides is often low the accuracy can be quite good.

Forces are resolved normal to the slip surface (so similar problems occur with high values of F_s and as with the same method applied to circular arcs); moment equilibrium is not considered.

$$\text{The basic equation is: } F_s = \frac{\sum [c' \ell + (W_{\text{gross}} - U) \tan \phi']}{\sum W \sin \alpha}$$

where ℓ = inclined length of base of slice

W = total weight of slice

U = pre-shear force = $u \ell$

-43-

Tabulation:

Slice No.	α	W	W_{gross}	$c'\ell$	$W_{\text{gross}} - U$	$c'\ell + (W_{\text{gross}} - U) \tan \phi'$
1						
2						

$$\sum_i = P$$

$$\text{hence } F = \frac{P}{A}$$

ψ = central angle of cut

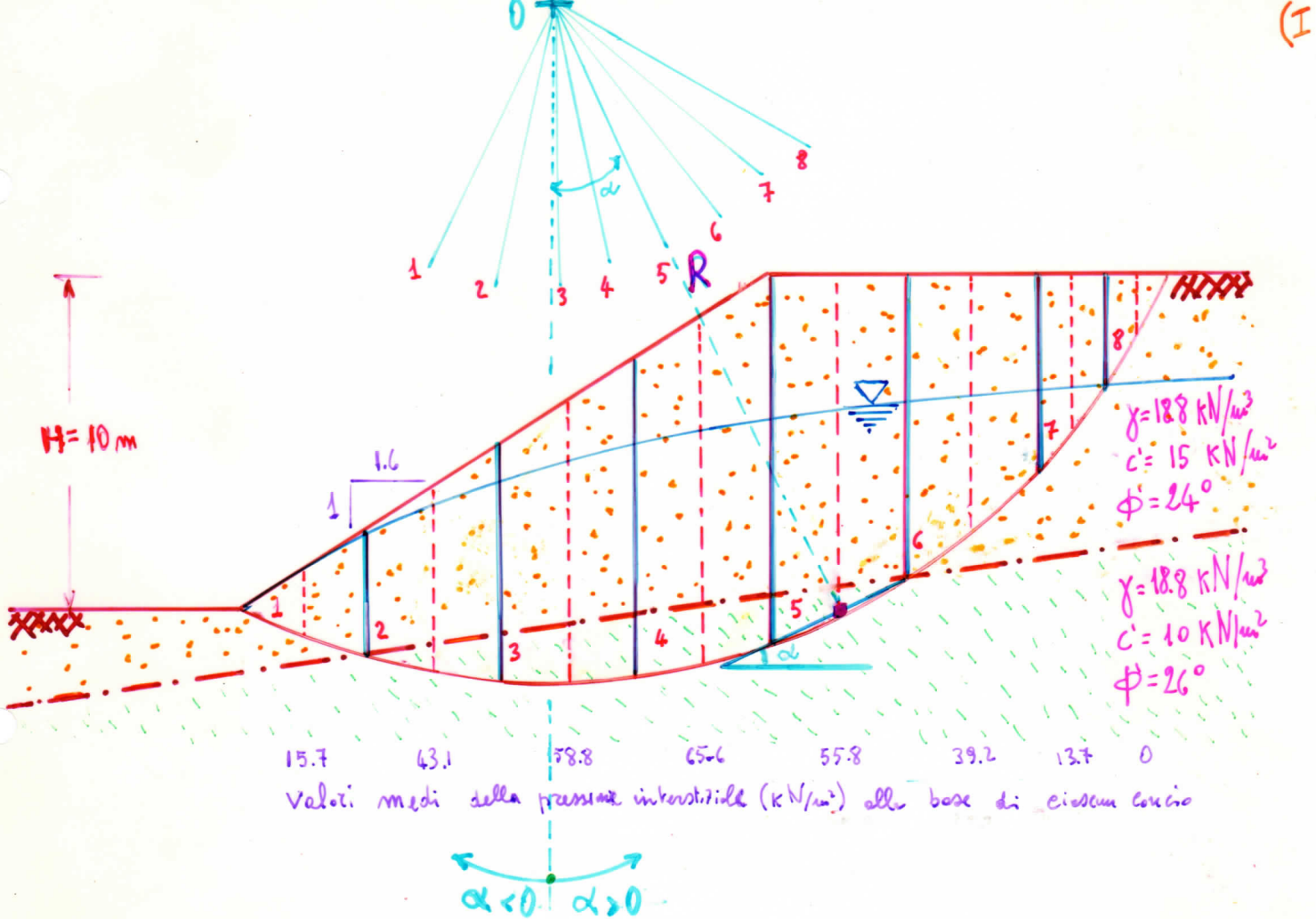
slice parameters chosen to give $F_s = 1.0$

(Skempton & Hutchinson, 1959)

$$\sum_i = A$$

Landslide	Shape of cross-section	Factor of safety		
		F_s	F_s	Bishop (simplified)
Northolt	(a) Circular 	$\psi = 54^\circ$ $d/L = 0.16$	0.94	1.0
Lodden	$\psi = 85^\circ$ 	$d/L = 0.20$	0.79	1.0
Drammen	$\psi = 82^\circ$ 	$d/L = 0.19$	0.73	1.0
Walton's Wood	(b) Non-circular 	$d/L = 0.08$	0.98	1.03
Guildford		$d/L = 0.09$	0.97	1.03
Sudbury Hill		$d/L = 0.07$	0.96	0.95
Falkestone Warren		$d/L = 0.17$	0.92	0.97

Summarised



$$F = \frac{\sum c'l + \sum W(c_{\text{ad}} - r_w) \tan \phi}{\sum W \sin \phi} \quad (\text{metodo convenzionale})$$

CONCIO	(1) α (°)	(2) e_{ad}	(3) b (m)	(4) H (m)	(5) γ (kN/m^3)	(6) W (kN)	(7) $\sin \alpha$	(8) $W \sin \alpha$ (kN)	(9) u (kN/m^2)	(10) r_w	(11) r_{ad}	(12) $r_w \cdot r_{\text{ad}}$	(13) c' (kN/m^2)	(14) $\tan \phi$	(15) l (= b/c_{ad}) (mm)	(16) e/l	(17) $(2)-(12)$	(18) $(6) \times (4) \times (7)$
1	-22.2	0.93	4	2	18.8	150	-0.38	-57.1	15.7	0.61	1.08	0.44	15	0.44	430	64.5	0.49	32
2	-9.7	9.98	4	5.8	u	436	-0.17	-74.1	43.1	0.39	1.01	0.39	10	0.49	4.08	40.8	0.50	126
3	2.8	8.99	4	8.6	u	646	0.05	32	58.8	0.36	1.001	0.36	10	0.49	4.04	40.4	0.63	199
4	12.8	8.97	4	10.5	u	790	0.22	175	65.6	0.33	1.03	0.34	10	0.49	4.12	41.2	0.63	244
5	25.9	8.90	4	10.2	u	767	0.44	335	55.8	0.29	1.11	0.32	10	0.49	4.44	44.4	0.58	218
6	388	0.78	4	7.8	u	587	0.63	368	39.2	0.27	1.28	0.34	15	0.64	5.13	76.9	0.44	114
7	51.3	0.63	2	4.8	u	180	0.78	140	13.7	0.15	1.60	0.24	15	0.64	3.17	67.6	0.39	31
8	61.9	0.67	2	1.8	u	68	0.88	60	0	0	2.12	0	15	0.64	4.76	63.8	0.47	14
						$\Sigma = 975$									$\Sigma = 419.6$	$\Sigma = 978$		

$$F = \frac{419.6 + 978}{978} = 1.43$$

N.B. - Il valore di F ottenuto è relativo alle superfici potenziali di scorrimento considerate. Occorre usare nuovi altri conci per trovare la superficie critica ($F = F_{\text{minimo}}$)

SOLUZIONE DI BISHOP

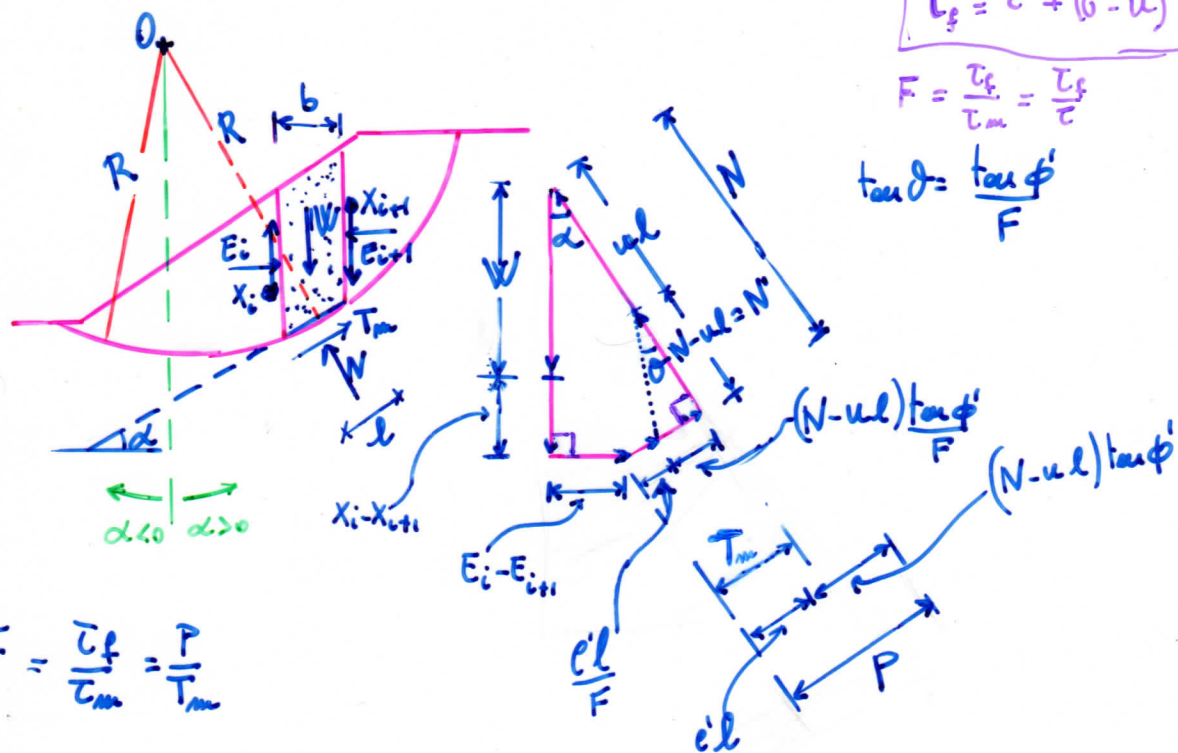
Come si è già visto,

$$F = \frac{\sum [c_i l_i + (N_i - u_i l_i) \tan \phi'_i]}{\sum W_i \sin \alpha_i}$$

$$T_f = c' + (G - u) \tan \phi'$$

$$F = \frac{T_f}{T_m} = \frac{T_f}{c}$$

$$\tan \delta = \frac{\tan \phi'}{F}$$



Considerando il poligono delle forze del cennio iemo e risolvendo le forze nella direzione verticale, si ha:

$$W + (X_i - X_{i+1}) = (N - u l) \cos \alpha + (N - u l) \frac{\tan \phi'}{F} \sin \alpha + u l \cos \alpha + \frac{c' l}{F} \sin \alpha$$



$$N - u l = N' = \frac{W + (X_i - X_{i+1}) - l \left[u \cos \alpha + \left(\frac{c'}{F} \right) \sin \alpha \right]}{\cos \alpha + \left(\frac{\tan \phi'}{F} \right) \sin \alpha}$$

Notando poi che $b = l \cos \alpha$ ed $\tau_u = u b / W$ e sostituendo si ottiene:

$$F = \frac{1}{\sum W \sin \phi} \cdot \sum [c'b + (W - ub + X_i - X_{i+1}) \tan \phi] \frac{\sec \phi}{1 + \frac{\tan \phi \tan \phi}{F}}$$

Questa è l'equazione del METODO RIGOROSO di BISHOP

Lo stesso Bishop ha mostrato che il valore di F non è significativamente influenzato dai termini X ed ha raccomandato che, in pratica, per tutti i casi può assumersi:

$$X_i - X_{i+1} = 0$$

mentre:

$$F = \frac{1}{\sum W \sin \phi} \cdot \sum [c'b + (W - ub) \tan \phi] \frac{\sec \phi}{1 + \frac{\tan \phi \tan \phi}{F}}$$

oppure

$$F = \frac{1}{\sum W \sin \phi} \sum [c'b + W(1 - r_u) \tan \phi] \frac{\sec \phi}{1 + \frac{\tan \phi \tan \phi}{F}}$$

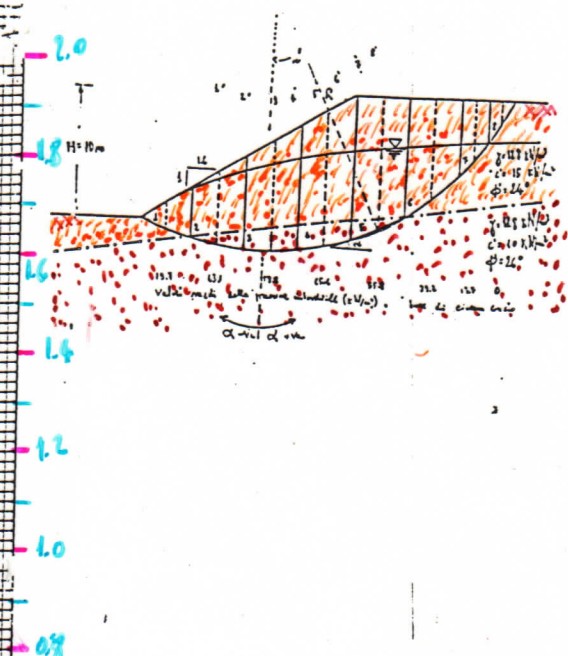
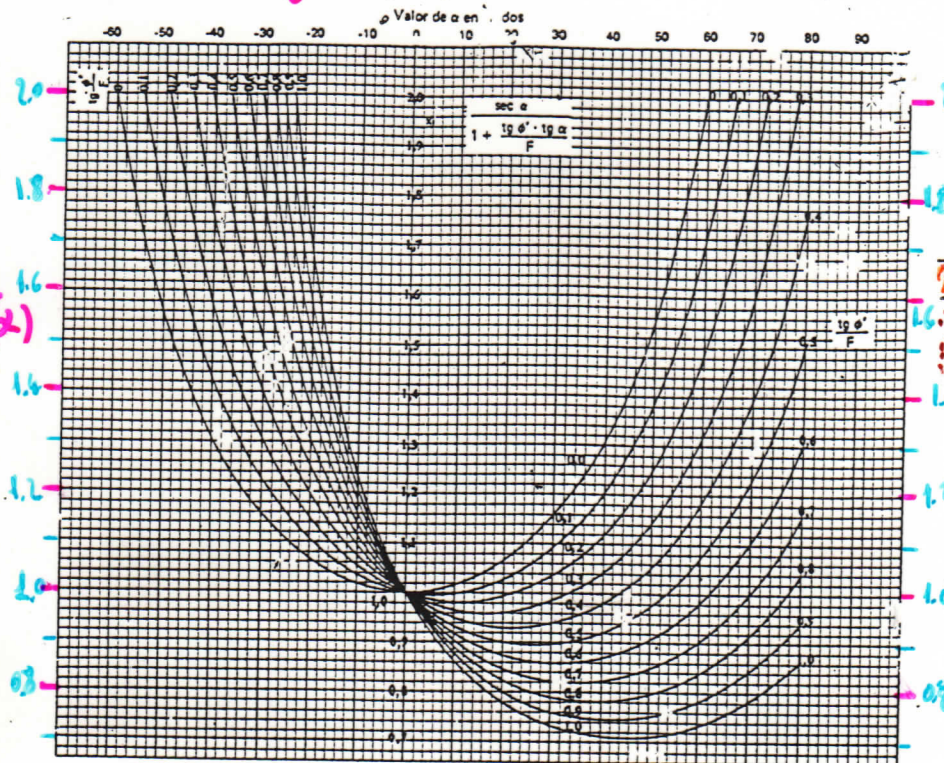
Questa è l'equazione del METODO SEMPLIFICATO o di ROUTING di BISHOP

Poiché F compare anche nel secondo membro dell'equazione, la soluzione dell'equazione stessa richiede un processo per approssimazioni successive. Viene perciò assunto un valore iniziale di $F (= F_0)$ e si calcola un nuovo valore di $F (= F_1)$. Si ripetono i calcoli con questo nuovo valore, fermando il calcolo quando si raggiunge una differenza trascurabile tra valori successivi ($F_i \approx F_{i+1}$). Inoltre la convergenza è rapida e si raggiunge con 2-3 iterazioni.

Analisi della stabilità del metolo di BISHOP

(F)

$\alpha (0)$



$$F = \frac{1}{\sum W_{\text{wind}}} \sum \left\{ c' b + \tan \phi [W(1 - \gamma_w)] \right\} \cdot M(\alpha) ; \quad M(\alpha) = \frac{\sec \alpha}{1 + \frac{\tan \alpha \cdot \tan \phi}{F}}$$

CONCIO	(1)	(2)	(3)	(4)	(5)	(6)	(7)	(8)	(9)	(10)	(11)	(12)	(13)	(14)	(15)	(16)	(17)
	α (°)	W (kN)	Wind (kPa)	c' (kN/m)	b (m)	$c' b$	$\tan \phi$	γ_w	$1 - \gamma_w$	$(2)(7) \times (9)$	$(6) + (10)$	$\tan \phi / F_1$	$M(\alpha)$	$(11) \times (13)$	$\tan \phi / F_2$	$M(\alpha)$	$(11) \times (16)$
1	-22.2	150	-57.1	15	4	60	0.44	0.41	0.59	38.3	98.3	0.37	1.27	125.6	0.28	1.22	120.6
2	-9.7	436	-74.1	10	4	40	0.49	0.39	0.61	130	170.3	0.41	1.03	185.6	0.30	1.07	182.2
3	2.8	64	32	10	4	40	0.49	0.36	0.64	2046	242.6	0.41	0.98	237.7	0.30	0.93	240.2
4	12.8	790	175	10	4	40	0.49	0.33	0.67	259.3	299.3	0.41	0.94	281.3	0.30	0.96	287.3
5	25.9	767	335	10	4	40	0.49	0.29	0.71	266.8	306.8	0.41	0.93	285.3	0.30	0.97	297.6
6	38.8	587	368	15	4	60	0.44	0.27	0.73	188.5	248.5	0.37	0.99	246	0.28	1.03	256
7	51.3	180	140	15	2	30	0.44	0.15	0.85	67.3	97.3	0.37	1.09	106	0.28	1.16	112.9
8	61.9	68	60	15	2	30	0.44	0	1	29.3	53.3	0.37	1.25	74.3	0.28	1.35	80.3
														$\sum = 1524.4$		$\sum = 1577$	

$$F_1 = 1.2 \Rightarrow F_2 = \frac{1524.4}{975} = 1.58 ; \quad F_3 = 1.6 \Rightarrow F_4 = \frac{1577}{975} = 1.61 \approx F_3 \text{ STOP}$$

N.B. - Il valore di F ottenuto è relativo alla superficie potenziale del sconcambo determinata. Deve tenersi conto di altri criteri (teorici: ∞^3) per trovare la superficie critica ($F = F_{\min}$).